T. XXX, № 7, 1977

УДК 519.95

## г. а. тоноян, л. с. казарян

## ВОССТАНОВЛЕНИЕ ДИНАМИКИ РОСТА МИКРОБНОЙ ПОПУЛЯЦИИ И ОПРЕДЕЛЕНИЕ ДИНАМИКИ РОСТА ОТДЕЛЬНЫХ КЛЕТОК ПОПУЛЯЦИИ

В статье описан принцип определения всех возможных траекторий увеличения численности популяции от i ( $t_0$ ) до Q ( $t_n$ ). Приведен математический аппарат для определения динамики роста каждого элемента (клетка или ЕИП) популяции к  $t_n$  моменту времени при известных N ( $t_k$ ), N ( $t_{k+1}$ ), ..., N ( $t_n$ ).

В предыдущей работе [1] были описаны структурные ряды  $S_n$ , с помощью которых анализировались возможные пути увеличения численности популяции (ВПУЧП) к моменту  $t_n$ .

В структурном ряде

$$S_n = 1, 2, 2 \cdot 3 \cdot 4, 2 \cdot 3 \cdot 4 \cdot 3 \cdot 4 \cdot 5 \cdot 6 \cdot 6 \cdot 7 \cdot 8 \cdot \dots \cdot 2^{n-1} \cdot 2^n$$

собраны все истории популяций или семейств, из которых состоит  $S_n$ . Наряду с восстановлением всех ВПУЧП структурного ряда существует более частная задача, решение которой состоит в восстановлении возможных динамик роста популяции, достигшей к  $t_n$  моменту определенной численности  $Q(t_n)$ . Если  $2^{k-1} < Q(t_k) \leqslant 2^c$ , то популяция при максимальной скорости размножения достигнет численности  $Q(t_k)$  в момент времени. По пути  $1(t_0)Q(t_k)$  численность Q достигается в минимальный промежуток времени:

$$2^{0} \rightarrow 2^{1} \rightarrow 2^{2} \rightarrow \cdots \rightarrow 2^{k-1} \rightarrow Q(t_{k}),$$

$$t_{0} \quad t_{1} \quad t_{2} \quad \cdots \quad t_{k-1} \quad t_{k}.$$

Путь  $1(t_{z-k})Q(t_z)$ , по которому популяция достигнет численности  $Q(t_z)$ , является последним (рис. 1). Так при  $1(t_{z-k+1})$  — исходном элементе — численность популяции не достигнет Q к  $t_z$  моменту времени, а достигнет только к  $t_{z+1}$  при  $t_k - t_0 = t_z - t_k$ . Популяция, достигшая  $Q(t_z)$  путем  $1(t_0)1(t_{z-k})Q(t_z)$ , имеет самый молодой возрастной состав. Популяция, достигшая  $Q(t_z)$  путем  $1(t_0)Q(t_z)$ , имеет самый старый возрастной состав элементов (рис. 1). Пути

$$1 (t_0) Q (t_k) Q (t_z); 1 (t_0) 1 (t_{z-k}) Q (t_z)$$

являются лимитирующими, в ограниченной ими области заключены остальные варианты путей развития, по которым популяция может достичь численности  $Q(t_z)$ . Возможны следующие случаи расположения  $t_{z-k}$  момента времени по оси t:

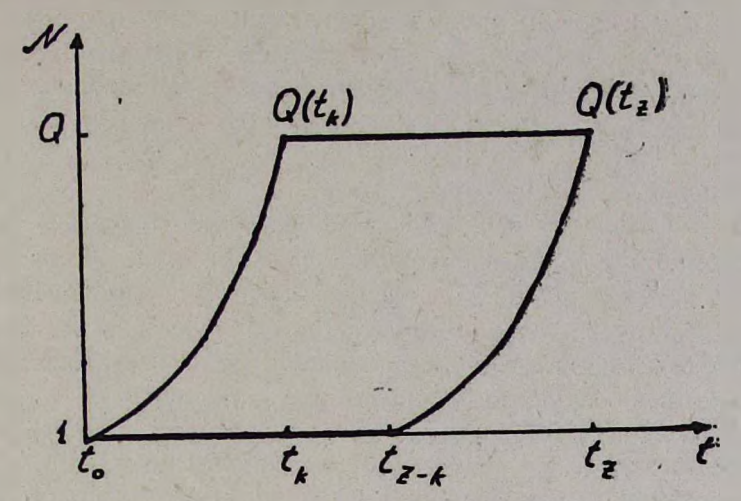


Рис. 1. Область сосредоточения возможных путей достижения популяции:

Q (t<sub>\*</sub>) при 1 (t<sub>\*</sub>) исходной.

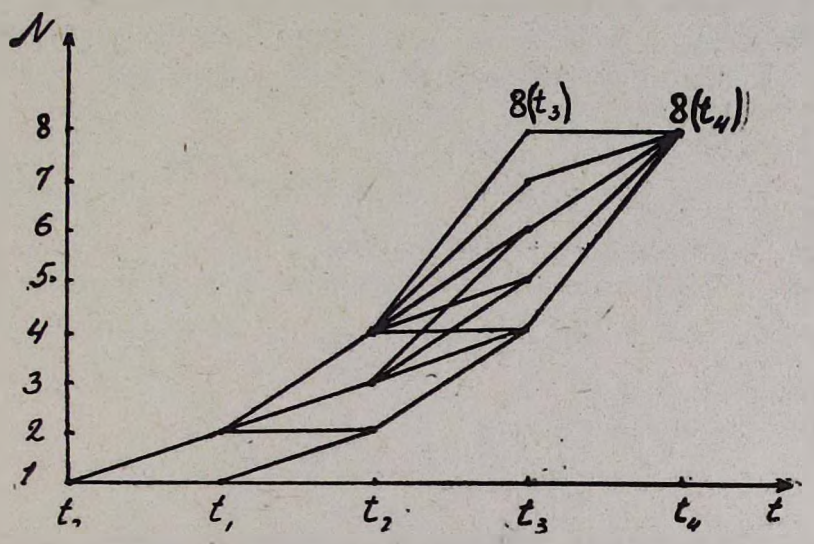


Рис. 2. Возможные динамики увеличения численности популяции от 1 (t<sub>0</sub>) до 8 (t<sub>4</sub>):

$$\left\{\begin{array}{l} t_{z-k} - t_k \geqslant 0, \\ t_{z-k} - t_k < 0. \end{array}\right.$$

При  $t_{z-k} > t_k$  промежуточная численность  $H(t_a)$  ограничена

$$1 \leqslant H\left(t_{\alpha}\right) \leqslant Q, \ t_{k} \leqslant t_{\alpha} \leqslant t_{z-k} \ \text{if} \ 2^{\alpha-k} \leqslant H\left(t_{\alpha}\right) \leqslant Q, \ t_{k} \leqslant t_{\alpha} \leqslant t_{z}.$$

Если  $t_0 < t_{z-k}$  и  $t_{z-k} < t_{\alpha} < t_z$ , то ограничение  $H.(t_{\alpha})$  будет следующим:  $2^{\alpha-(z-k)} \leqslant H(t_{\alpha}) \leqslant 2^z \leqslant Q$  (рис. 2). В случае  $t_k = t_{z-k}$ ,  $2^{\alpha-k} \leqslant H(t_{\alpha}) \leqslant Q$  при  $t_k \leqslant t_{\alpha} \leqslant t_z$ . Таким образом, описана ограниченная область возможных промежуточных численностей популяции при увеличении от

 $1(t_0)$  до  $Q(t_z)$ . Возможные увеличения динамики численности популяции до  $8(t_4)$  (возможная динамика роста популяции, достигшей к моменту численности  $8(t_4)$ ) можно записать следующим образом:

$$8(t_4) = 8, 8.7.6.5.4, 4.4.4.3.4.3.4.3.2, 2.2.2.2.2.2.2.2.2.3.$$

запись по принципу аналогична структурным рядам.

Рассмотрим принцип построения рядов, соответствующих возможным траекториям роста.  $Q_n$ —ряд возможных динамик роста популяции (ВДРП) Q ( $t_n$ ). Первое число ряда  $Q_n$ —это Q— численность популяции  $t_n$  момента. Ряд чисел между первой и второй запятыми—это возможные численности популяции к моменту  $t_{n-1}$ . Этот ряд обозначим через  $\Delta Q_{n-1}$ , ряд чисел между второй и третьей запятыми—через  $\Delta Q_{n-2}$ , это возможные численности популяции к  $t_{n-2}$  моменту времени и т. д. Между k-й и k+1-й запятыми находится  $\Delta Q_{n-k}$ . А после n-й запятой, т. е. в  $\Delta Q_{n-n}$ , расположен ряд чисел, который состоит только из единиц, так как численность исходной популяции равна единице исчисления популяции (ЕИП). Число единиц, расположенных в  $\Delta Q_0$ , равно числу BДРП, т. е. Q ( $t_n$ ). Для построения  $Q_n$  ряда необходимо восстановить возможные численности популяции к  $t_{n-1}$  моменту

$$\Pr^{\beta=0}_{\substack{Q-1\\\frac{Q}{a}}}\left(\frac{Q+1}{2}+\beta\right)=Q,\cdots,\ \frac{Q+1}{2}\cdot$$

Это и есть возможные предшествующие численности  $t_{n-1}$  момента популяции  $Q(t_n)$ . Здесь Q — нечетное число, а количество чисел, входящих в  $\Delta Q_{n-1}$ , равно  $\frac{Q-1}{2}+1$ , а если Q — четное число, то соответствующий ряд будет

$$\frac{\stackrel{\beta=0}{P}}{\stackrel{Q}{\sim}} \left(\frac{Q}{2} + \beta\right) = Q, \cdots, \ \frac{Q}{2}.$$

Количество чисел, входящих в него, равно  $\frac{Q}{2}+1$ . Так, для  $Q(t_q)=8(t_4)$  возможные предшествующие численности  $t_3$  момента времени будут следующими:

$$\frac{P}{Q}\left(\frac{8}{2} + \beta\right) = 8.7.6.5.4.$$

Для построения  $\Delta 8_2$  необходимо учесть ограничение:  $2 \leqslant H(t_1) \leqslant 4$  (рис. 2).

Примечание: в (рис. 2) приведены  $1(t_0) \, 8(t_3) \, 8(t_4)$  и  $1(t_0) \, 1(t_1) \, 8(t_4)$  — лимитирующие пути,  $t_{z-k} = t_1$ ,  $t_z = t_4$ ,  $t_k = t_3$ . Здесь рассмотрены случан:

$$\begin{aligned} t_{\alpha} &= t_1 \to 2^{0} < H(t_1) < 2^{1}, \\ t_{\alpha} &= t_2 \to 2^{1} < H(t_2) < 2^{2}, \ t_{\alpha} &= t_3 \to 2^{2} < H(t_3) < 2^{3}. \end{aligned}$$

Исходя из ограничения, ряды чисел, предшествующих численностям 8, 7, 6, 5, 4—8:7:6:5:4; 7:6:5:4; 6:5:4:3; 5:4:3; 4:3:2, соответственно сократятся 4; 4:3; 4:3:2.

Сокращение при известном лимитирующем пути можно производить следующим образом:

$$E(t_{n-1}) - H(t_{n-2})_{max} = L; \frac{Q}{2} \le E(t_{n-1}) \le Q$$

при Q — четном, а при нечетном  $-\frac{Q+1}{2} \leqslant E \ (t_{n-1} \leqslant Q, \ \text{где} \ H(t_{n-2})_{\text{max}}$ —

максимальная численность среди предшествующих численностей.  $E(t_{n-1})$  — численность  $t_{n-1}$  момента. L — число первых чисел, отбрасываемых из рядов

$$rac{eta = 0}{P} \left(rac{Q}{2} + eta
ight)$$
 и  $rac{eta = 0}{P} \left(rac{Q+1}{2} + eta
ight)$  .

Ряды чисел, предшествующие  $E(t_{n-1})$  в  $\Delta Q_{n-2}$ , будут следующими:

$$\stackrel{\beta=0}{\underset{Q}{P}} \left( \frac{Q}{2} + \beta \right) = \frac{Q}{2} + \frac{Q}{2} - L_1, \dots, \frac{Q}{2}.$$

В ряде содержится  $\frac{Q}{2} - L_1 + 1$  число, а в этом ряде

$$\Pr_{\frac{Q-1}{2}-L_2}\left(\frac{Q+1}{2}+\beta\right) = \frac{Q+1}{2} + \frac{Q-1}{2} - L_2, \cdots, \frac{Q+1}{2}$$

содержится  $\frac{Q-1}{2} - L_2 + 1$  число.

Например:  $Q_1 = 8$ ,  $Q_2 = 7$ ,  $L_1 = 8-4 = 4$ ,

$$L_2 = 7 - 4 = 3$$
,  $H(t_2)_{max} = 4$ ,

$$\frac{{}^{\beta}_{P}^{=0}}{{}^{2}_{2}}\left(\frac{8}{2}+\beta\right)=4, \quad \Pr_{\frac{7-1}{2}-3}^{\frac{3}{2}-3}\left(\frac{7+1}{2}+\beta\right)=4.$$

Число членов в рядах соответственно равно:  $\frac{8}{2}-4+1=1$  и  $\frac{7-1}{2}$ 

-3+1=1. Таким образом, зная  $\Delta Q_{n-1}$ , можно восстановить  $\Delta Q_{n-2}$ , а следовательно, и найти число чисел  $K(\Delta Q_{n-2})$ , входящих в  $\Delta Q_{n-2}$ . Число чисел, входящих в  $\Delta Q_0 - K(\Delta Q_0)$ , соответствует числу ВДРП  $Q(t_n)$ ,  $t_n$  момента времени при исходной ЕИП в  $t_0$  (рис. 3). Число чисел, входящих в диаграмму ВДРП, равно:

$$K(Q_n) = \sum_{i=0}^n K_i(\Delta Q_i).$$

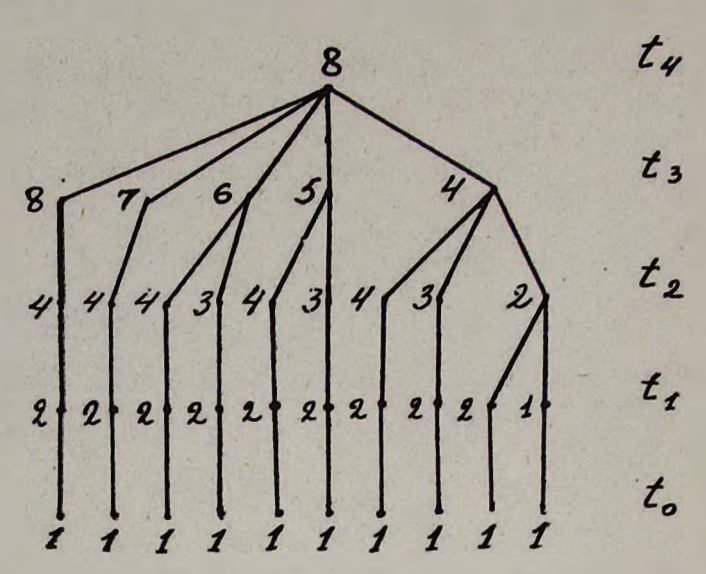


Рис. 3. Диаграмма возможных динамик роста исходной ЕИП 1 ( $t_0$ ), достигшей численности 8 ( $t_4$ ) в  $t_4$  момент времени.

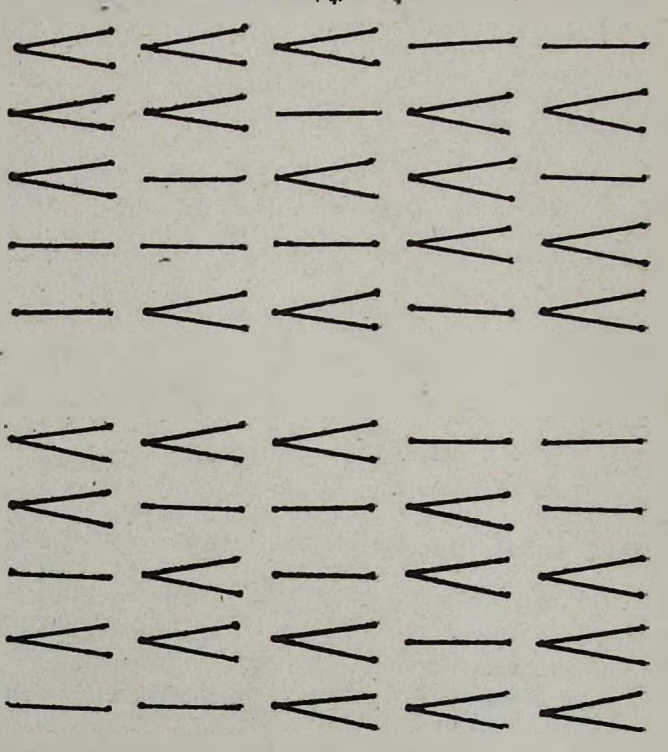


Рис. 4. Возможные случаи увеличения численности из H  $(t_{\alpha})=5$  исходных клеток в Q  $(t_{\alpha+1})=8$  клеток вероятность появления численност и Q $(t_{\alpha+1})$ 

равна: 
$$W_8^5 = C_5^3 \left[ \frac{13 \cdot (m-1)^{5-3}}{m^5} \right]$$

Таким образом, выше было описано восстановление всех ВДРП

$$Q(t_n); Q(t_n) \rightarrow \Delta Q_{n-1} \rightarrow \Delta Q_{n-2} \rightarrow \cdots \rightarrow \Delta Q_0.$$

Восстановление ВДРП возможно также при помощи структурных рядов [1], но для этого необходимо найти все Q структурного ряда  $S_n$  с соответствующими номерами  $N_Q^{S_n}$ . Определение ВДРП при помощи  $S_n$  значительно сложнее.

Определение вероятности удвоения клеток популяции. Если сделать допущение, обычное для детерминированных моделей [2], приняв за постоянную величину вероятность удвоения клетки или ЕИП  $W_1 = \frac{1}{m}$  за  $\Delta t$  момент времени,  $W_2 = \frac{m-1}{m}$  вероятность того, что клетка останется неудвоенной, то возможно определить вероятностное распределение ВПУЧП структурного ряда  $S_n$  (рис. 5). Можно опре-

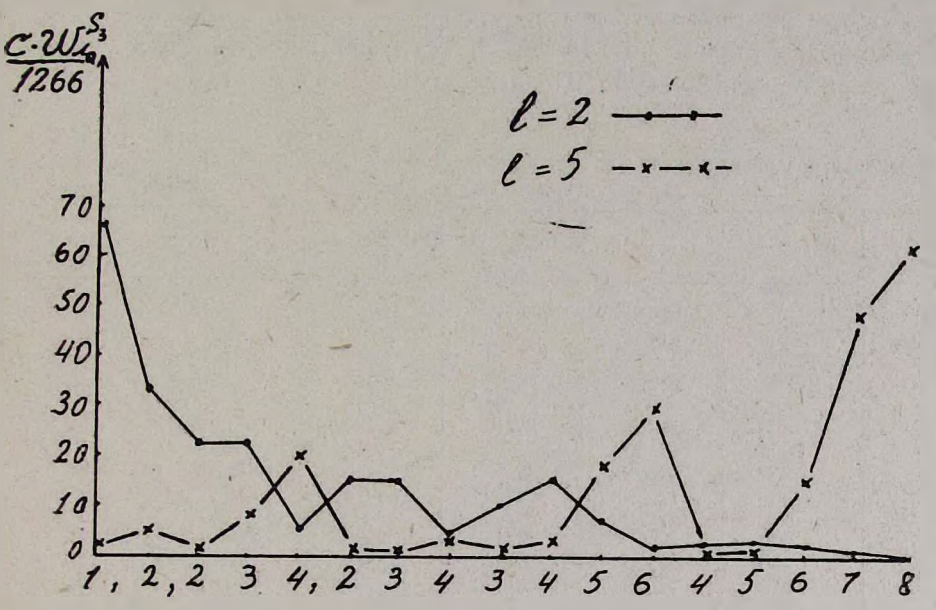


Рис. 5. Вероятностное распределение ВПУЧП ряда  $S_3$  (табл. 1).  $W_{N_Q}^{S^2}$  — вероятность пути роста популяции, находящейся под номером  $N_Q$  в  $S_3$  и имеющей численность к  $t_3$  моменту времени, равную Q  $(t_3)$ .

делить вероятностное распределение появления возможных численностей популяции от 1 до 2<sup>n</sup>.

Примечание: делается допущение, что  $W_1$  не зависит от возраста и численности полуляции.

Вероятность появления численности Q ( $t_{\alpha+1}$ ) из исходной численности H ( $t_{\alpha}$ ) равна:

$$W_{Q(t_{\alpha+1})}^{H(t_{\alpha})} = C_{H(t_{\alpha})}^{\Delta H(t_{\alpha})} \left[ \frac{1^{\Delta H(t_{\alpha})} \cdot (m-l)^{H(t_{\alpha}) - \Delta H(t_{\alpha})}}{m^{H(t_{\alpha})}} \right],$$

где  $Q(t_{\alpha+1}) = H(t_{\alpha}) + \Delta H(t_{\alpha})$ .

Вероятность увеличения численности популяции  $H(t_{\alpha})$ в  $t_{\alpha}$  момента времени до численности  $Q(t_{\alpha+1})$  при промежуточных численностях равна:

$$\begin{split} W_{H(t_{\alpha})} & \to \cdots \to Q(t_{\alpha+1}) = \\ & = W_{H(t_{\alpha})}^{H^1(t_{\alpha+1})} \cdot W_{H^1(t_{\alpha+1})}^{H^1(t_{\alpha+2})} \cdots W_{H^{1-1}(t_{\alpha+1-1})}^{Q(t_{\alpha+1})}, \end{split}$$

где

$$H^{1}(t_{\alpha+1}) - H(t_{\alpha}) = \Delta H(t_{\alpha}), \cdots$$

$$Q(t_{\alpha+1}) - H^{l-1}_{(t_{\alpha+1-1})} = \Delta H^{l-1}_{(t_{\alpha+1-1})}, H(t_{\alpha}) \leq \cdots$$

$$\cdots \leq H^{l-1}_{(t_{\alpha+1-1})} \leq Q(t_{\alpha+1}).$$

На примере рассмотрим вероятностное распределение ВПУЧП структурного ряда  $S_3$  при m=6 и l=1, 2, 3, 4, 5 (табл., рис. 5). Зная вероятностное ракпределение ВПУЧП ряда  $S_n$  при  $0 < W_1 < 1$ , можно сопо-

Таблица Вероятностное распределение возможных путей увеличения численности популяции для структурного ряда  $S_3$  при  $m\!=\!6$ 

Q (t <sub>3</sub> )	b (l = 1)	b (l = 2)	b (l = 3)	b (l = 4)	b (l = 5)	N <sup>S</sup> <sub>3</sub>
122342345645678	162000 32400 27000 10800 1080 22500 9000 7500 4500 900 60 625 500 150 20	82944 41472 27648 27648 6912 18432 18432 4608 12283 18432 9216 1536 2048 4096 3072 1024 128	34992 34992 17496 34992 17496 8748 17496 8748 26244 26244 26244 8748 2187 8748 13122 8748 2187	10368 20736 6912 27648 27648 2304 9216 9216 3072 18432 36846 25476 1024 8192 24576 32768 16384	1296 6480 10800 10800 27000 180 1800 4500 300 4500 22500 37500 125 2500 18750 62500 78125	1 2 3 4 5 6 7 8 9 10 11 12 13 14 15 16 17

 $W_{N_{O}}^{S_{1}}$  — вероятность пути роста популяции Q, находящейся под номером  $N_{N_{O}}^{S_{2}}$ структурного ряда  $S_3$ . С — общий знаменатель для  $W_{N_0}^{S_3}$  при  $m=6,\ l=1,\ 2,\ 3,\ 4,\ 5,$  $b = C \cdot W_{N_0}^{S_3}$ , C = 279936.

ставить теоретическое и экспериментальное вероятностные распределения. Число необходимых опытов ідля определения вероятности удвоения клеток зависит от необходимой точности. Так, например, для структурного ряда  $S_3$  -при  $W_{N_Q}^S = \frac{b}{C}$ , C = 279936, где C -общий знаменатель для всех вероятностей роста популяции Q, N<sub>O</sub> —номер роста популяции Q в S<sub>3</sub>. Для полного совпадения кривых вероятностных

1.00

распределений, теоретической и экспериментальной, разумеется, при соответствии вероятности удвоения клеток, необходимо проделать 221 эксперимент (рис. 5). С уменьшением числа экспериментов уменьшается и точность спределения  $W_1$ . Если необходимо определить  $W_1$  для развивающейся популяции от момента  $t_k$  до  $t_n$ , то популяцию  $P(t_k)$  необходимо разделить на Z равных по численности популяций и выращивать их отдельно. При этом нужно следить за динамикой роста этих популяций, определяя их численности в  $t_k$ ,  $t_{k+1}, \cdots, t_{n-1}, t_n$  моменты. Z — число опытов, необходимых для определения  $W_1$ . Так, для  $S_1$ ,  $Z = \alpha \cdot C = 221$ , где  $\alpha = \frac{1}{1266}$ .

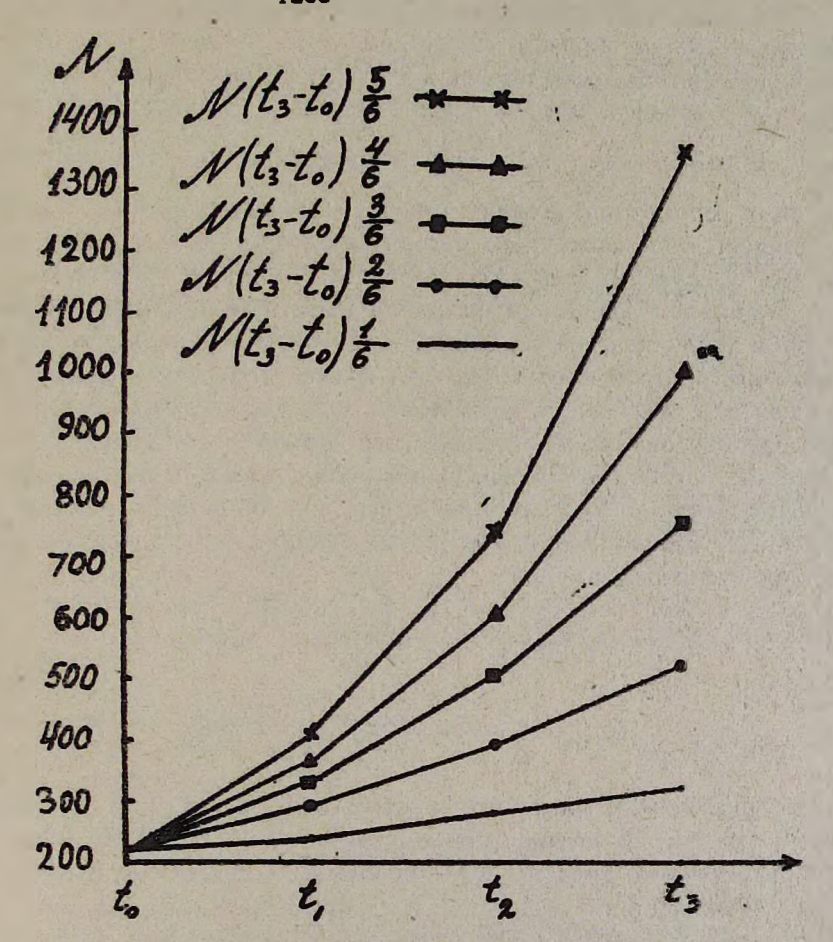
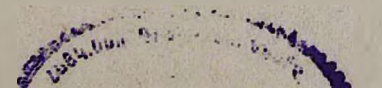


Рис. 6. Динамика роста популяция  $P(t_0)$  за  $t_3-t_0$  промежуток временя при  $W_1=\frac{1}{6}$ ;  $\frac{2}{6}$ ;  $\frac{3}{6}$ ;  $\frac{4}{6}$ ;  $\frac{5}{6}$ .

При выборе величины а учитывается число реально возможных экспериментов и точность, с которой нужно определить W<sub>1</sub>. Для проверки соответствия кривых используется критерий соответствия или согъемологический журнал Армении, XXX, № 7—2



Если критерий для расоматриваемого случая не превосходит надлежащим образом установленный предел, гипотеза принимается, в противном случае-отвергается. В качестве критерия согласия в данном случае, например, можно использовать критерий Пирсона [3]. При соответствии данных, полученных экспериментально, и вероятностного распределения задачной W1 можно прийти к заключению, что для давного вида популящии при определенных условиях вероятность удвоения клеток или ЕИП постоянна в течение \(^t\) промежутка времени и не зависит от возраста клеток. Естественно, соответствие с теоретической ВДРП $\frac{P(t_k)}{Z}$ распределений В случае несоответствия вероятностных при 0<W1<1 следует предположить, что W1 не постоянна в проводимом эксперименте. Таким образом, информация о W1 извлекается не из результирующей кривой роста популяции P(t,), развивающейся в одной емкости, а в Z раздельных емкостях, например, в пробирках. Если усреднить динамики роста всех  $\frac{P(t_k)}{Z_i}$  популяций, то из этой величины также нельзя извлечь информацию о вероятности деления клеток популяции. Недостатком описанного метода является большое число экспериментов, требующихся для определения W1. Но преобразуя математический аппарат, число опытов можно довести до минимума. Правда, при этом увеличивается объем раочетов. Если для определения W в приведенном примере требовалось поставить 221 опыт, в каждом из которых исходная численность популяций-одна клетка или одна ЕИП, то после преобразования математического аппарата достаточно одного эксперимента. Сущность преобразования заключается в том, что анализируется суммарная динамика роста всех 221 популяции. Фактически это рост 221 популяции в одном сосуде. Общая динамика роста описывается следующей формулой:

$$\begin{split} & \text{N} \; (\mathsf{t_3} - \mathsf{t_0}) \; \mathsf{W_1} = \mathsf{P} \; (\mathsf{t_0}) \to \sum_{i=1}^{17} L_i \; (\mathsf{t_1}) \; \frac{\mathsf{C}}{\alpha} \cdot \mathsf{W}_{L_i}^{\mathsf{S_3}} - \\ & \to \sum_{i=1}^{17} M_i \; (\mathsf{t_2}) \; \frac{\mathsf{C}}{\alpha} \cdot \mathsf{W}_{M_i}^{\mathsf{S_3}} \to \sum_{i=1}^{17} \mathsf{Q}_i \; (\mathsf{t_3}) \; \frac{\mathsf{C}}{\alpha} \cdot \mathsf{W}_{\mathsf{Q}_i}^{\mathsf{S_3}}, \end{split}$$

где  $L_{\rm I}$  ( $t_{\rm I}$ )—возможные численчости популяций, которые могут оказаться к  $t_{\rm I}$  моменту времени при исходной одной ЕИП во всех 17 ВПУЧП структурного ряда  $S_{\rm 3}$ .  $W_{L_{\rm I}}^{\rm S_{\rm 2}}$ — вероятность появления  $L_{\rm i}$  ( $t_{\rm i}$ ), i-го пути ряда  $S_{\rm 3}$ ,  $\alpha=\frac{1}{1266}$ , а C — общий знаменатель для всех  $W_{\rm L_{\rm I}}^{\rm S_{\rm 2}}$ ,  $W_{\rm M_{\rm I}}^{\rm S_{\rm 3}}$ ,  $W_{\rm Q_{\rm I}}^{\rm S_{\rm 3}}$ , при C=279936.  $M_{\rm I}$  ( $t_{\rm 2}$ ) — возможные численности популяций к  $t_{\rm 2}$  моменту в 17 ВПУЧП ряда  $S_{\rm 3}$ ,  $W_{\rm 1}$  — вероятность удвоения клеток, которая учитывалась при построении кривой общей динамики роста N ( $t_{\rm 3}$  —  $t_{\rm 0}$ )  $W_{\rm I}$  в течение  $t_{\rm 3}$  —  $t_{\rm 0}$  промежутка времени. Результаты расчетов общих динамик роста следующие:

$$N(t_3-t_0) \frac{1}{6} = 214 \rightarrow 243 \rightarrow 284 \rightarrow 326,$$

$$N(t_3-t_0) \frac{2}{6} = 223 \rightarrow 296 \rightarrow 396 \rightarrow 526,$$

$$N(t_3-t_0) \frac{3}{6} = 224 \rightarrow 336 \rightarrow 504 \rightarrow 756,$$

$$N(t_3-t_0) \frac{4}{6} = 219 \rightarrow 365 \rightarrow 601 \rightarrow 1000.$$

$$N(t_3-t_0) \frac{5}{6} = 222 \rightarrow 407 \rightarrow 746 \rightarrow 1368.$$

Динамики роста приведены на рис. 6. Некоторый разброс численностей популяции  $P(t_0)$  для  $W_1$  объясняется округлением чисел при расчетах.  $W_1$  можно вычислить следующим обр  $\infty$  зом:

$$W_{1} = \frac{\Delta N (t_{0})}{N (t_{0})} = \frac{\Delta N (t_{1})}{N (t_{1})} = \frac{\Delta N (t_{2})}{N (t_{2})}$$

Но сущность приведенного математического аппарата сводится к определению динамики роста каждого элемента популяции ( $P(t_n)$  к  $t_n$  моменту времени при неизвестных  $N(t_k)$ ,  $N(t_{k+1})$ ,  $\cdots$   $N(t_{n-1})$ ,  $N(t_n)$ . Мы рассмотрели пример определения динамики роста каждого из 221 элементов (клеток или ЕИП) популяции к  $t_3$  моменту времени (рис. 5).

Для определения динамики роста элементов популяции требуется мощная вычислительная техника, которой оснащены не все лаборатории. Поэтому мы считаем, что описанный метод может принести реальную пользу в том случае, если будет издана соответствующая справочная литература.

В следующей нашей работе будет приведен анализ экспериментальной динамижи роста популяции с помощью нашей математической модели.

Ереванский государственный уннверситет, кафедра высшей математики

Поступило 24.І 1977 г.

Գ. Ա. ՏՈՆՈՑԱՆ, Լ. Ս. ՂԱԶԱՐԱԱՆ

ՄԱՆՐԷՆԵՐԻ ՊՈՊՈՒԼՅԱՑԻԱՅԻ ԱՃԻ ԴԻՆԱՄԻԿԱՅԻ ՎԵՐԱԿԱՆԳՆՈՒՄԸ ԵՎ ՊՈՊՈՒԼՅԱՑԻԱՅԻ ԱՌԱՆՁԻՆ ԲՋԻՋՆԵՐԻ ԱՃՄԱՆ ԴԻՆԱՄԻԿԱՅԻ ՈՐՈՇՈՒՄԸ

Հոդվածում նկարագրված է 1 (t<sub>c</sub>) մինչև Q(t<sub>n</sub>) պոպուլյացիայի քանակի մեծացման բոլոր հնարավոր հետագծնրի որոշման սկզբունքը։ Բերված է մաԹեմատիկական ապարատ որոշիլու  $N(t_k)$  պոպուլյացիայի յուրաքանչյուր տարրի (բջիջ կամ պտպուլյացիայի հաշվարկման միավոր—ՊՀՄ) աճման դիևստոնիկան մինչև  $t_n$  ժամանակի պահը, հրբ հայտնի հն  $N(t_k), N(r_{k+1}), \cdots, N(t_n)$ :

## ЛИТЕРАТУРА

- 1. Казирян Л. С., Тоноян Г. А., Биологический журпал Армении, 30, 4, 1977.
- 2. Leslie P. H. Biometrika, 33, 183-212, 1945.
- 3. Войтинский Е. А., Лившиц М. Е., Ромм Б. Н., Рыжиков В. С. Анализ биопотенциалов на цифровой адмитивной системе, Л., 1972.